

# Gauss写像の退化する軌道 と弱鏡映軌道

田崎博之 筑波大学

井川治 (福島高専) と酒井高司 (大阪市立大学)

との共同研究

球面内の部分多様体

**austere**部分多様体

弱鏡映部分多様体

**Gauss**写像の退化する部分多様体

$X$  : **Riemann**多様体

$$M \subset X \quad \forall x \in M \quad \forall \xi \in T_x^\perp M$$

$\exists \sigma : X \rightarrow X$  : 等長変換

$$\sigma(x) = x, \quad (d\sigma)_x \xi = -\xi,$$

$$\sigma(M) = M$$

$M$  : **弱鏡映部分多様体**

## 鏡映部分多様体 (Leung)

: Riemann 多様体の対合的等長変換 (鏡映) の固定点集合の連結成分

$M$  : 鏡映部分多様体  $\sigma$  :  $M$  の鏡映

$$\forall x \in M \quad \forall \xi \in T_x^\perp M$$

$$\sigma(x) = x, \quad (d\sigma)_x \xi = -\xi,$$

$$\sigma(M) = M$$

$$M \subset X \quad \forall x \in M \quad \forall \xi \in T_x^\perp M$$

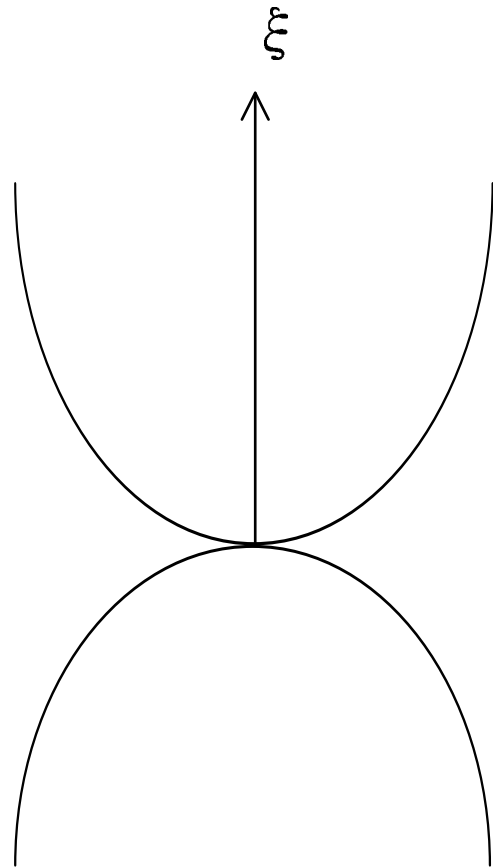
$A_\xi$  : シェイプ作用素

$A_\xi$  の固有値 :  $-1$  倍不変

$M$  : **austere** 部分多様体

(Harvey-Lawson)

鏡映  $\Rightarrow$  弱鏡映  $\Rightarrow$  **austere**  $\Rightarrow$  極小



正の固有値の方向

負の固有値の方向

## 弱鏡映部分多様体の例

$$S^{n-1}(1) \times S^{n-1}(1) \subset S^{2n-1}(\sqrt{2})$$

$(1, 0, \dots, 0, 1, 0, \dots, 0)$  における鏡映

$$\sigma(x, y) = (y, x)$$

$n = 2$  の場合 : **Clifford torus**

## 部分多様体の構成法

$(G, K)$  : **Riemann**対称対

$\mathcal{G} = \mathcal{K} + \mathcal{M}$  : **Lie**代数の標準分解

$H \in \mathcal{M} (\neq 0)$

$\text{Ad}_G(K)H$  : 超球面の部分多様体



# 軌道の分類 $(G, K)$ が既約の場合

$\text{Ad}_G(K)H$  が **austere** 部分多様体になる  $H$

(1) 制限ルート

(2)  $A_2$  型  $\{\pm(e_i - e_j)\}$  の  $2e_1 - e_2 - e_3, e_1 + e_2 - 2e_3$

(3)  $A_3$  型  $\{\pm(e_i - e_j)\}$  の  $e_1 + e_2 - e_3 - e_4$

(4)  $D$  型  $\{\pm e_i \pm e_j\}$  の  $e_1$

(5)  $D_4$  型  $\{\pm e_i \pm e_j\}$  の  $e_1 + e_2 + e_3 \pm e_4$

(6) 重複度一定の  $B_2$  型  $\{\pm e_i, \pm e_i \pm e_j\}$  の  $e_1 + \frac{e_1 + e_2}{\sqrt{2}}$

(7)  $G_2$  型の  $\alpha_1 + \frac{\alpha_2}{\sqrt{3}}$

# (1) と (4) に現れる例

$$S^{m-1}(1) \otimes S^{n-1}(1) \subset S^{mn-1}(1)$$

$$\sigma = \sigma_m \otimes 1 : \text{鏡映}$$

$$\sigma_m : S^{m-1}(1) \text{ の点対称}$$

$\text{Ad}_G(K)H$  が弱鏡映部分多様体になる  $H$

(1) 制限ルート

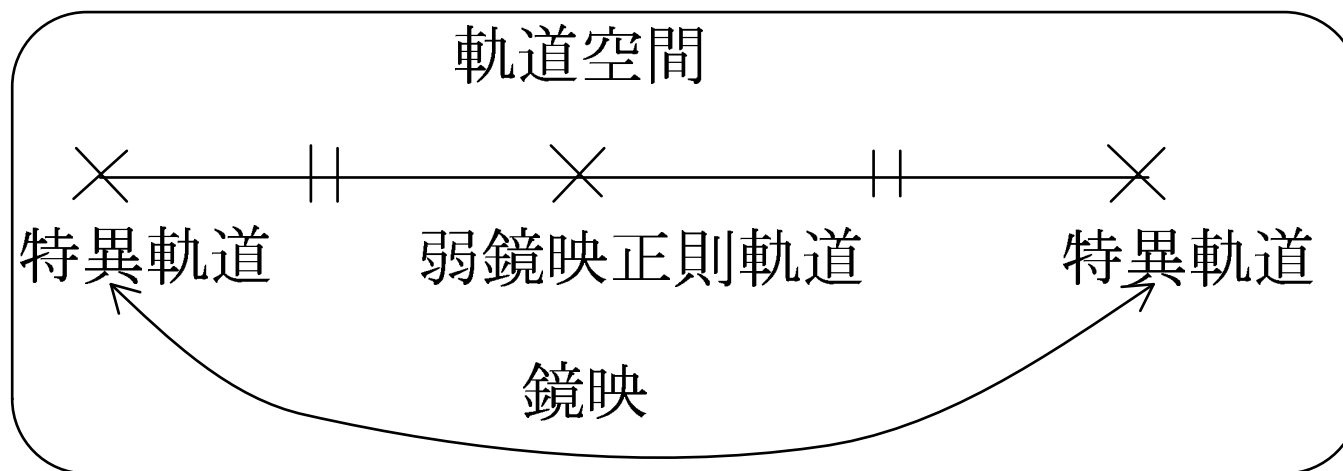
(2)  $A_2$  型  $\{\pm(e_i - e_j)\}$  の  $2e_1 - e_2 - e_3, e_1 + e_2 - 2e_3$

(3)  $A_3$  型  $\{\pm(e_i - e_j)\}$  の  $e_1 + e_2 - e_3 - e_4$

(4)  $D$  型  $\{\pm e_i \pm e_j\}$  の  $e_1$

(5)  $D_4$  型  $\{\pm e_i \pm e_j\}$  の  $e_1 + e_2 + e_3 \pm e_4$

# (6), (7) が弱鏡映にならない理由



$f : M^l \rightarrow S^n$  はめこみ

**Gauss写像**  $\gamma : M \rightarrow G_{l+1}(\mathbf{R}^{n+1})$

$$\gamma(x) = \mathbf{R}f(x) \oplus T_{f(x)}(f(M))$$

**軌道の Gauss写像退化**

$\Rightarrow$  制限ルートの軌道  $\Rightarrow$  弱鏡映

長い制限ルートの軌道  
 $G_2$ 型の短いルートの軌道 }  $\Leftrightarrow$  **Gauss写像退化**

